

Ecole d'été  
Mécanique Théorique  
Quiberon

septembre 2015

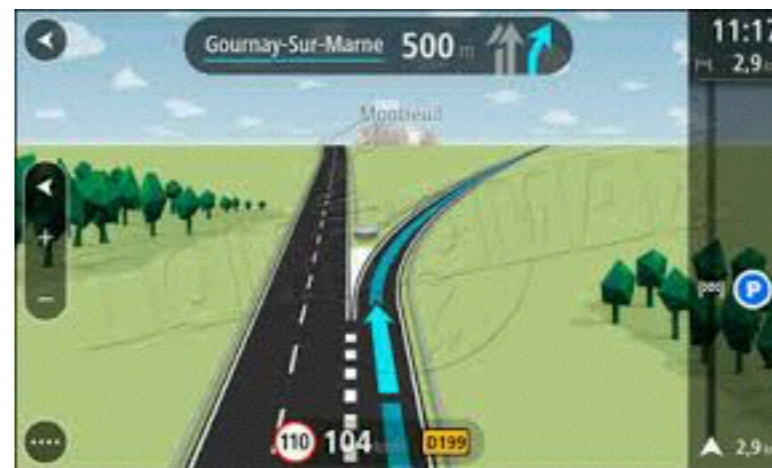
Cours 2

# ANALYSE DES BIFURCATIONS

## Le problème en vitesses

Etat fixé et on regarde l'évolution du système a partir de cet état

à partir de cet état champ de vitesses mais aussi vitesses des contraintes, etc...



exemple de réponse

Bifurcation tangente

non tangente

# Grandes transformations

Confond la configuration de référence avec la configuration actuelle

$$\mathbf{F} = \mathbf{1} \text{ et } \dot{\mathbf{F}} \neq 0$$

# Tenseur nominal des contraintes

$$s_{ij}dS$$

jème composante de la force courante agissant sur un élément de surface qui dans la configuration de référence a une normale dirigée selon  $\mathbf{e}_i$

Equations d'équilibre

$$\frac{\partial s_{ij}}{\partial a_i} + g_j^0 = 0$$

$$\frac{\partial s_{ij}}{\partial x_i} + g_j = 0$$

# Loi de comportement

Ecrite en vitesse

$$\dot{s}_{ij} = G_{ij}(\nabla \mathbf{v}, \text{etat})$$

# le problème en vitesses

Equilibre:

$$\frac{\partial \dot{s}_{ij}}{\partial x_i} + \dot{g}_j = 0$$

Conditions aux limites

$$\dot{s}_{ij} n_i = \dot{f}_j \text{ sur } S_f$$

$$v_j = d_j \text{ sur } S_v$$

# Elasticité

Cadre hyperélastique  
Densité d'énergie élastique

$$E(\mathbf{F})$$

$$s_{ij} = \frac{\partial E}{\partial F_{ji}}$$

$$\dot{s}_{ij} = c_{ijkl} \dot{F}_{ji} = c_{ijkl} \frac{\partial v_l}{\partial x_k}$$

$$c_{ijkl} = c_{klij} = \frac{\partial^2 E}{\partial F_{ji} \partial F_{lk}}$$

# Bifurcation

On suppose qu'on a deux solutions  $v_j^1 \neq v_j^2$

$$\Delta v_j = v_j^1 - v_j^2$$

$$\Delta \dot{s}_{ij} = \dot{s}_{ij}^1 - \dot{s}_{ij}^2 = c_{ijkl} \frac{\partial \Delta v_l}{\partial x_k}$$

$$\frac{\partial}{\partial x_i} \left( c_{ijkl} \frac{\partial \Delta v_l}{\partial x_k} \right) = 0$$

$$c_{ijkl} \frac{\partial \Delta v_l}{\partial x_k} n_i = 0 \text{ sur } S_f \text{ et } \Delta v_j = 0 \text{ sur } S_v$$

$c_{ijkl}$  état propre

$\Delta v_j$  mode propre



# Critère de non bifurcation

Integration sur le volume, formule de la divergence

$$\int_V c_{ijkl} \frac{\partial v_j}{\partial x_i} \frac{\partial v_l}{\partial x_k} dV = 0$$

unicité si

$$\int_V c_{ijkl} \frac{\partial v_j}{\partial x_i} \frac{\partial v_l}{\partial x_k} dV > 0 \quad \forall \mathbf{v} \text{ C1 et nul sur } S_f$$

Remarques: 1)  $< 0$  marche aussi mais instabilité!

2) condition satisfaite si  $c_{ijkl} > 0$  partout

# Stabilité

Critère de l'énergie: Etat d'équilibre est stable si dans tout mouvement virtuel à partir de cet état, la variation d'énergie interne est plus grande ou égale que le travail virtuel des efforts extérieurs

$$dE > dW$$

# Critère de stabilité

Solide déformé par un chargement arbitraire jusqu'à une configuration d'équilibre donnée C

déplacement virtuel  $\delta u_j$  de la configuration C à une configuration virtuelle C'

Cet état d'équilibre est stable au sens indiqué précédemment

$$\int_V \delta E - \int_0^\tau \left[ \int_V g_j \frac{\partial \delta u_j}{\partial \tau} dV + \int_{S_f} f_j \frac{\partial \delta u_j}{\partial \tau} dS \right] d\tau \geq 0$$

ou dans le cas de charges

$$\int_V \delta E dV - \int_V g_j \delta u_j dV - \int_S f_j \delta u_j dS \geq 0 \quad \forall \delta u_j = 0 \text{ sur } S_v$$

# Critère de stabilité

$$\int_V \delta E dV - \int_V g_j \delta u_j dV - \int_S f_j \delta u_j dS \geq 0 \quad \forall \delta u_j = 0 \text{ sur } S_v$$

$$\int_V \left( \delta E - s_{ij} \frac{\partial \delta u_j}{\partial x_i} \right) dV \geq 0 \quad \forall \delta u_j = 0 \text{ sur } S_v$$

OU

$$\int_V c_{ijkl} \frac{\partial \delta u_j}{\partial x_i} \frac{\partial \delta u_l}{\partial x_i} dV \geq 0 \quad \forall \delta u_j = 0 \text{ sur } S_v$$

# Elasto-plasticité

$$D_{ij} = D_{ij}^e + D_{ij}^p$$

élasticité

$$\hat{\sigma}_{ij} = C_{ijkl}(D_{kl} - D_{kl}^p)$$

Fonction de charge

$$f(\boldsymbol{\sigma}, R) \leq 0$$

Loi d'écoulement

$$D_{ij}^p = \lambda \frac{\partial f}{\partial \boldsymbol{\sigma}}$$

Loi d'écrouissage

$$\dot{p} = \lambda \frac{\partial f}{\partial R}$$

$$\lambda \geq 0, f \leq 0 \text{ and } \lambda \dot{f} = 0$$

# Elasto-plasticité

$$\hat{\sigma}_{ij} = H_{ijkl} D_{kl}$$

Charge ou décharge élastique

$$\mathbf{H} = \mathbf{C} \text{ si } \frac{\partial f}{\partial \boldsymbol{\sigma}} : \mathbf{C} : \mathbf{D} < 0$$

Charge plastique

$$\mathbf{H} = \mathbf{C} - \frac{\mathbf{C} : \frac{\partial f}{\partial \boldsymbol{\sigma}} \otimes \mathbf{C} : \frac{\partial f}{\partial \boldsymbol{\sigma}}}{h + \frac{\partial f}{\partial \boldsymbol{\sigma}} : \mathbf{C} : \frac{\partial f}{\partial \boldsymbol{\sigma}}} \text{ si } \frac{\partial f}{\partial \boldsymbol{\sigma}} : \mathbf{C} : \mathbf{D} \geq 0$$

Module tangent symétrique

$$\dot{s}_{ij} = \hat{\sigma}_{ij} + \sigma_{ij} \frac{\partial v_k}{\partial x_k} + \sigma_{ik} \frac{\partial v_j}{\partial x_k} - (\sigma_{ik} D_{jk} - \sigma_{jk} D_{ik})$$

$$\begin{aligned} \dot{s}_{ij} &= H_{ijkl} D_{kl} + \sigma_{ij} \frac{\partial v_k}{\partial x_k} + \sigma_{ik} \frac{\partial v_j}{\partial x_k} - (\sigma_{ik} D_{jk} - \sigma_{jk} D_{ik}) \\ &= L_{ijkl} \frac{\partial v_l}{\partial x_k} \end{aligned}$$

# Petites déformations

Remarque: pour faire des petites déformations

remplacer la dérivée chapeau (Jauman) par la dérivée par rapport au temps classique et enlever la fonctionnelle  $\Sigma(\dots)$



# Bifurcation

On suppose qu'on a deux solutions  $v_j^1 \neq v_j^2$

$$\Delta v_j = v_j^1 - v_j^2$$

$$\Delta \dot{s}_{ij} = \dot{s}_{ij}^1 - \dot{s}_{ij}^2 \neq L_{ijkl} \frac{\partial \Delta v_l}{\partial x_k}$$

$$\frac{\partial \Delta \dot{s}_{ij}}{\partial x_i} = 0 \text{ sur } V$$

$$\Delta \dot{s}_{ij} n_i = 0 \text{ sur } S_f \text{ et } \Delta v_j = 0 \text{ sur } S_v$$

# Critère de non bifurcation

Intégration sur le volume et application de la formule de la divergence

$$\int_V \Delta \dot{s}_{ij} \Delta \frac{\partial v_j}{\partial x_i} = \int_V \Delta \hat{\sigma}_{ij} D_{ij} dV - \Sigma(\Delta \mathbf{v}) = 0 \text{ dans } V$$

$$\Sigma(\mathbf{v}) = \int_V \left[ \sigma_{ik} \left( 2D_{ij} D_{jk} - \frac{\partial v_j}{\partial x_i} \frac{\partial v_j}{\partial x_k} \right) - \sigma_{ij} \frac{\partial v_k}{\partial x_k} \frac{\partial v_j}{\partial x_i} \right] dV$$

Critère de non bifurcation

$$\int_V \Delta \hat{\sigma}_{ij} D_{ij} dV - \Sigma(\Delta \mathbf{v}) dV > 0 \forall \text{ paire } \mathbf{v}^1, \mathbf{v}^2 \text{ verifiant les CL sur } S_v$$

# Solide linéaire de comparaison

Condition précédente difficile à appliquer

$$h > 0 \quad \int_V \Delta \hat{\sigma}_{ij} D_{ij} dV \geq H(\Delta \mathbf{v})$$

$$H(\mathbf{w}) = \int_V \mathbf{D}(\mathbf{w}) : \mathbf{C} : \mathbf{D}(\mathbf{w}) dV - \int_{V_p} \frac{\frac{\partial f}{\partial \boldsymbol{\sigma}} : \mathbf{C} : \mathbf{D}(\mathbf{w})}{h + \frac{\partial f}{\partial \boldsymbol{\sigma}} : \mathbf{C} : \frac{\partial f}{\partial \boldsymbol{\sigma}}} dV_p$$

Nouveau critère de non bifurcation

$$H(\mathbf{w}) - \Sigma(\mathbf{w}) \geq 0 \quad \forall \mathbf{w} \in \mathbf{C} \text{ et nul sur } S_v$$

# Solide linéaire de comparaison

On a remplacé en fait les modules tangents partout par les  
modules tangents en charge

$$\mathbf{H}^L = \mathbf{C} - \frac{\mathbf{C} : \frac{\partial f}{\partial \boldsymbol{\sigma}} \otimes \mathbf{C} : \frac{\partial f}{\partial \boldsymbol{\sigma}}}{h + \frac{\partial f}{\partial \boldsymbol{\sigma}} : \mathbf{C} : \frac{\partial f}{\partial \boldsymbol{\sigma}}}$$

# Critère de bifurcation

On considère l'instant où pour la première fois la fonctionnelle

$$\mathcal{F}(\mathbf{w}) = H(\mathbf{w}) - \Sigma(\mathbf{w})$$

s'annule pour un  $\mathbf{w}^* \neq 0$

On a alors  $\mathcal{F}(\mathbf{w}) \geq 0 \quad \forall \mathbf{w}$

$$\mathcal{F}(\mathbf{w}^*) = 0$$

$\mathbf{w}^*$  réalise un minimum de cette fonctionnelle et il est solution

$$\frac{\partial}{\partial x_i} \left( H_{ijkl}^L \frac{\partial w_l}{\partial x_k} \right) = 0 \quad H_{ijkl}^L \frac{\partial w_l}{\partial x_k} n_i = 0 \text{ sur } S_f \quad w_j = 0 \text{ sur } S_v$$

# Critère de bifurcation

Il est maintenant possible de construire une solution au problème des vitesses pour le solide réel à partir de la solution fondamentale

$$\mathbf{v} = \mathbf{v}^0 + \zeta \mathbf{w}^*$$

En effet, si la solution fondamentale est en charge partout dans la zone plastique

$$\frac{\partial f}{\partial \boldsymbol{\sigma}} : \mathbf{C} : \mathbf{D}^0 \geq 0$$

Il suffit de choisir  $\zeta$  de manière à ce que

$$\frac{\partial f}{\partial \boldsymbol{\sigma}} : \mathbf{C} : (\mathbf{D}^0 + \zeta \mathbf{D}^*) \geq 0$$

Bifurcation du solide linéaire de comparaison

# Stabilité

$$\int_V \hat{\sigma}_{ij} D_{ij} - \Sigma(\mathbf{v}) dV > 0 \quad \forall \mathbf{v} \text{ nul sur } S_v$$

à comparer avec le critère de non bifurcation

$$\int_V \Delta \hat{\sigma}_{ij} D_{ij} dV - \Sigma(\Delta \mathbf{v}) dV > 0 \quad \forall \text{ paire } \mathbf{v}^1, \mathbf{v}^2 \text{ vérifiant les CL sur } S_v$$

Critères distincts

unicité  $\rightarrow$  stabilité

mais pas l'inverse

Lorsque la fonctionnelle de stabilité s'annule pour la première fois, on a un état propre du système homogène correspondant au système non linéaire étudié